

Trabalho Controle Não Linear - TRMS

Matheus Bawden Silverio de Castro - 222105990

18 de dezembro de 2023

1 Introdução

Trabalhos em controle de sistemas é um campo de estudo com continuas melhoras e aperfeiçoamentos. Sendo implementados em sistemas das mais diversas aplicações e naturezas. Em sistemas de controle de nível, controle de temperatura, corrente e diversos outros aspectos[1-4].

Existem diversas teorias para a determinação das técnicas de controle, determinação dos ganhos e do sinal de referência ou da entrada. Clássicas como o IMC, *Ziegler-Nichols*, para determinar os ganhos do PID. Controle no domínio da frequência, ou por *lyapunov* para determinar a forma do sinal do controlador.

Todas as técnicas tem suas limitações que a planta pode possuir, sendo que os sistemas trabalhados podem ser de natureza não linear, variante no tempo, ser MIMO ou SISO, possuir acoplamento entre as variáveis de controle.

O controle por *flatness* é uma técnica capaz de lidar com a maior parte dos problemas que as técnicas clássicas de controle não conseguem lidar. Com sistemas MIMO ou SISO, não lineares e variantes no tempo. Permitindo planejar a trajetória que os estados do sistema tem que fazer e implementando o controle para corrigir o comportamento do sistema, lidando com todas as não linearidades e variações de parametros do sistema de acordo com os estados atuais do sistema.

O sistema utilizado neste trabalho o TRMS(*twin rotor motor system*) é uma planta didática bem trabalhada no meio acadêmico que apresenta as dinâmicas de um helicóptero para a arfagem e a guinada, mas limitada mecanicamente para o rolamento, e para os eixos X, Y e Z. O que permite um sistema de ordem 6, considerando a dinâmica dos motores, com equações não lineares com dinâmicas com alta dependência do estado atual.

2 metodologia

O sistema TRMS terá o controle implementado pela técnica de *flatness*, sendo primeiramente linearizado em toda a trajetória e conferido sua controlabilidade. E com este requisitos de conferir sua controlabilidade pelas possíveis trajetórias e se ele é diferencialmente plano em todas as combinações dos estados veremos se é possível continuar a implementação do sistema de controle por *flatness*.

O segundo passo da metodologia é determinar as saídas planas do sistema, já como o sistema possui duas entradas e saídas, deve possuir pelo menos duas saídas planas.

3 Desenvolvimento e Resultados

As equações do sistema para a arfagem são descritas abaixo:

$$I_1 \ddot{\Psi} = M_1 - M_{FG} - M_{B\psi} - M_G \quad (1)$$

$$M_1 = a_1 \tau_1^2 + B_1 \tau_1 \quad (2)$$

$$M_{FG} = M_g \sin(\psi) \quad (3)$$

$$M_{B\psi} = B_{1\Psi} \dot{\Psi} + B_{2\Psi} \sin(2\Psi) \dot{\varphi}^2 \quad (4)$$

$$M_G = K_{gy} M_1 \dot{\varphi} \cos(\Psi) \quad (5)$$

As equações do sistema para a guinada são descritas abaixo:

$$I_2 \ddot{\varphi} = M_2 - M_{B\varphi} - M_R \quad (6)$$

$$M_2 = a_2 \tau_2^2 + B_2 \tau_2 \quad (7)$$

$$M_{B\varphi} = B_{1\varphi} \dot{\varphi} \quad (8)$$

$$M_R = K_c \frac{T_o s + 1}{T_p s + 1} M_1 \quad (9)$$

Sendo Ψ, φ as variáveis de arfagem e guinada respectivamente e Ψ, φ o momento dos motores com equações descritas abaixo. E com os outros termos sendo constantes do sistema. Para as equações da dinâmica dos momentos dos motores 1 e 2 será dado:

$$\tau_1 = m_1 \omega_1 \quad (10)$$

$$\frac{d\tau_1}{dt} = -\frac{T_{10}}{T_{11}} \tau_1 + \frac{k_1}{T_{11}} u_1 \quad (11)$$

$$\tau_2 = m_2 \omega_2 \quad (12)$$

$$\frac{d\tau_2}{dt} = -\frac{T_{20}}{T_{21}} \tau_2 + \frac{k_2}{T_{21}} u_2 \quad (13)$$

Sendo $T_{10}, T_{11}, T_{20}, T_{21}$ parâmetros do motor, assim como k_1, k_2, m_1, m_2 , sendo definidos como τ_1, τ_2 os momentos da hélice principal e a hélice da calda do modelo.

Aplicando a linearização do sistema para as variáveis de estado $[\Psi, \dot{\Psi}, \varphi, \dot{\varphi}, \tau_1, \tau_2]$ fazendo a parametrização $[x_1, x_2, x_3, x_4, x_5, x_6]$. Com a matriz A sendo: Sendo $alpha_1, alpha_2$

0	1	0	0	0	0
$alpha_1$	$-B_{1P}/I_1$	0	$alpha_2$	$alpha_3$	0
0	0	0	1	0	0
0	0	0,	$-B_{1Y}/I_2$	$-(K_c * T_O * (b_1 + 2 * a_1 * x_{5d}))/ (I_2 * T_P)$	$(b_2 + 2 * a_2 * x_{6d})/I_2$
0	0	0	0	$-T_{10}/T_{11}$	0
0	0	0	0	0	$-T_{20}/T_{21}$

Tabela 1: Matriz A

$$\alpha_1 = -(2 * B_{2P} * \cos(2 * x_{1d}) * x_{4d}^2 - K_{gy} * \sin(x_{1d}) * (a_1 * x_{5d}^2 + b_1 * x_{5d}) * x_{4d} + M_g * \cos(x_{1d}))/I_1 \quad (14)$$

$$\alpha_2 = -(2 * B_{2P} * x_{4d} * \sin(2 * x_{1d}) + K_{gy} * \cos(x_{1d}) * (a_1 * x_{5d}^2 + b_1 * x_{5d}))/I_1 \quad (15)$$

$$\alpha_3 = (b_1 + 2 * a_1 * x_{5d} - K_{gy} * x_{4d} * \cos(x_{1d}) * (b_1 + 2 * a_1 * x_{5d}))/I_1 \quad (16)$$

Sendo todos os termos subscritos de "d" os valores para o estado na trajetória desejado a dado momento t.

A matriz B será definida abaixo:

0	0
0	0
0	0
0	0
k_1/T_{11}	0
0	k_2/T_{21}

Tabela 2: Matriz B

Com esses dados se calculou a matrix de controlabilidade para o sistema variando no tempo:

$$C_K = \begin{bmatrix} B1 & AB1 - \frac{dB1}{dt} & A^2B1 - 2A\frac{dB1}{dt} + \frac{d^2B1}{dt^2} & B2 & AB2 - \frac{dB2}{dt} & A^2B2 - 2A\frac{dB2}{dt} + \frac{d^2B2}{dt^2} \end{bmatrix} \quad (17)$$

Considerando $B1$ a coluna de B referente a primeira entrada e $B2$ referente a segunda entrada do sistema. Para a construção da saída plana de fez o calculo:

$$F = K\Phi C_K^{-1}X \quad (18)$$

Sendo a matriz K composta de números reais e com as constantes $K11, K22$ diferentes de 0, e a matriz Φ para selecionar a saída plana de acordo com a seleção de colunas das entras $B1$ e $B2$. Com X sendo os estados $x1$ ao $x6$:

$$K = \begin{bmatrix} K11 & 0 \\ 0 & K22 \end{bmatrix} \quad (19)$$

$$\Phi = \begin{bmatrix} 0 & 0 & 1 & 0 & 0 & 0 \\ 0 & 0 & 0 & 0 & 0 & 1 \end{bmatrix} \quad (20)$$

As saídas planas serão:

$$FO_1 = (-(k1^2 * k2^3 * (K_{gy} * x4d * \cos(x1d) - 1) * (b_1 + 2 * a_1 * x5d) * (b_2 + 2 * a_2 * x6d)^2) / (I_1 * I_2^2 * T11^2 * T21^3))sX1 \quad (21)$$

$$\begin{aligned} FO_2 = & (-(K_c * T_O * k1^3 * k2^2 * (K_{gy} * x4d * \cos(x1d) - 1) \\ & * (b_1 + 2 * a_1 * x5d)^2 * (b_2 + 2 * a_2 * x6d)) / (I_1 * I_2^2 * T11^3 * T21^2 * T_P)) * sX1 \\ & + ((k1^3 * k2^2 * (K_{gy} * x4d * \cos(x1d) - 1)^2 * (b_1 + 2 * a_1 * x5d)^2 \\ & * (b_2 + 2 * a_2 * x6d)) / (I_1^2 * I_2 * T11^3 * T21^2)) * sX3 \end{aligned} \quad (22)$$

Sendo efetivamente escritas como:

$$FO_1 = a_1X1 \quad (23)$$

$$FO_2 = g_1X1 + g_2X3 \quad (24)$$

E calculando as suas derivadas temporais se obtém os dados necessários para a simulação da implementação do controle por *flatness*.

$$F\dot{O}_1 = a_1X1 + a_1\dot{X}1 = a_7X1 + a_8X2 + a_9X3 + a_{10}X4 + a_{11}X5 + a_{12}X6 \quad (25)$$

$$F\dot{O}_2 = g_1X1 + g_1\dot{X}1 + g_2X3 + g_2\dot{X}3 = g_7X1 + g_8X2 + g_9X3 + g_{10}X4 + g_{11}X5 + g_{12}X6 \quad (26)$$

Assim sucessivamente até a terceira derivada de cada elemento:

$$F\ddot{O}_1 = [g_{19} \quad g_{20} \quad g_{21} \quad g_{22} \quad g_{23} \quad g_{24} \quad g_{25} \quad g_{26}] * \begin{bmatrix} sX1 \\ sX2 \\ sX3 \\ sX4 \\ sX5 \\ sX6 \\ sU1 \\ sU2 \end{bmatrix} \quad (27)$$

Definimos $F\ddot{O}_1$ e $F\ddot{O}_2$ como v_1 e v_2 respectivamente, para determinamos nosso sinal de entrada desejado:

$$v_1 = F\ddot{O}_{\delta 1}^* - K_{11}^*(F\ddot{O}_{\delta 1} - F\ddot{O}_{\delta 1}^*) - K_{12}(F\dot{O}_{\delta 1} - F\dot{O}_{\delta 1}^*) - K_{13}^*(FO_{\delta 1} - FO_{\delta 1}^*) \quad (28)$$

$$v_2 = F\ddot{O}_{\delta 1}^* - K_{21}^*(F\ddot{O}_{\delta 1} - F\ddot{O}_{\delta 1}^*) - K_{22}(F\dot{O}_{\delta 1} - F\dot{O}_{\delta 1}^*) - K_{23}^*(FO_{\delta 1} - FO_{\delta 1}^*) \quad (29)$$

Sendo todos os $FO_{\delta X}^*$ as saídas planas e suas derivadas desejadas para cada saída plana respectivamente. Simulando no matlab obtivemos os seguintes resultados:

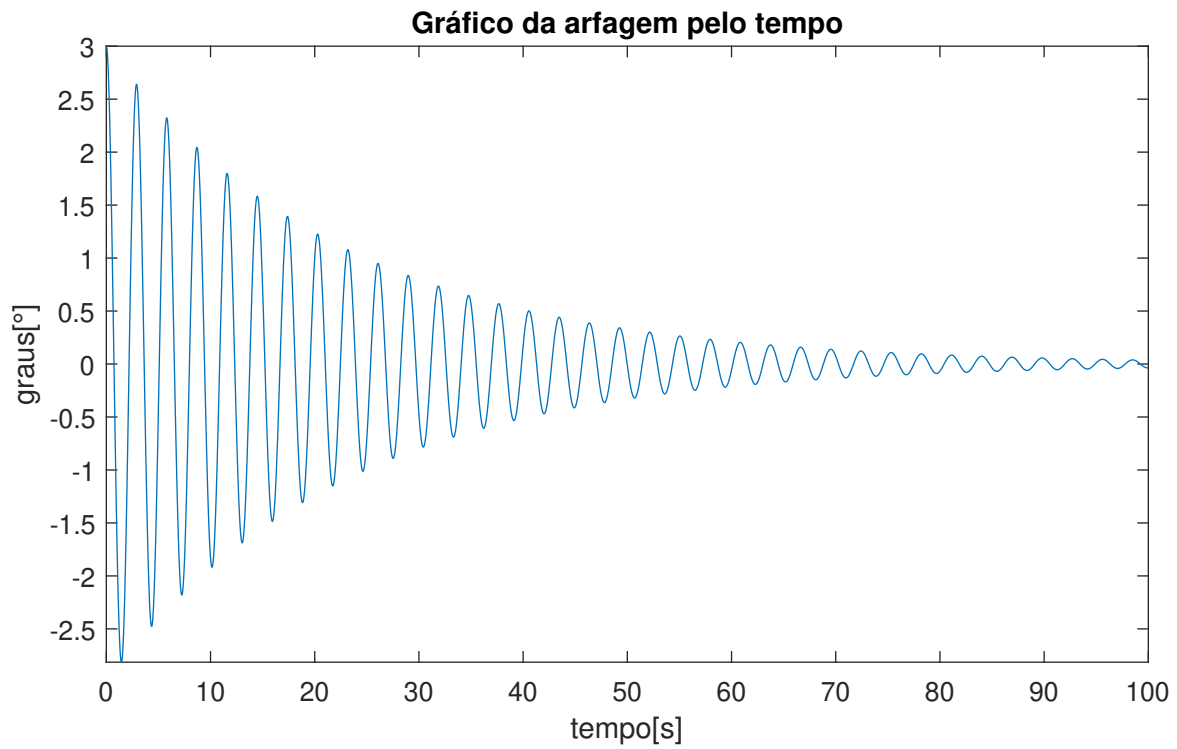


Figura 1: Gráfico da arfagem pelo tempo

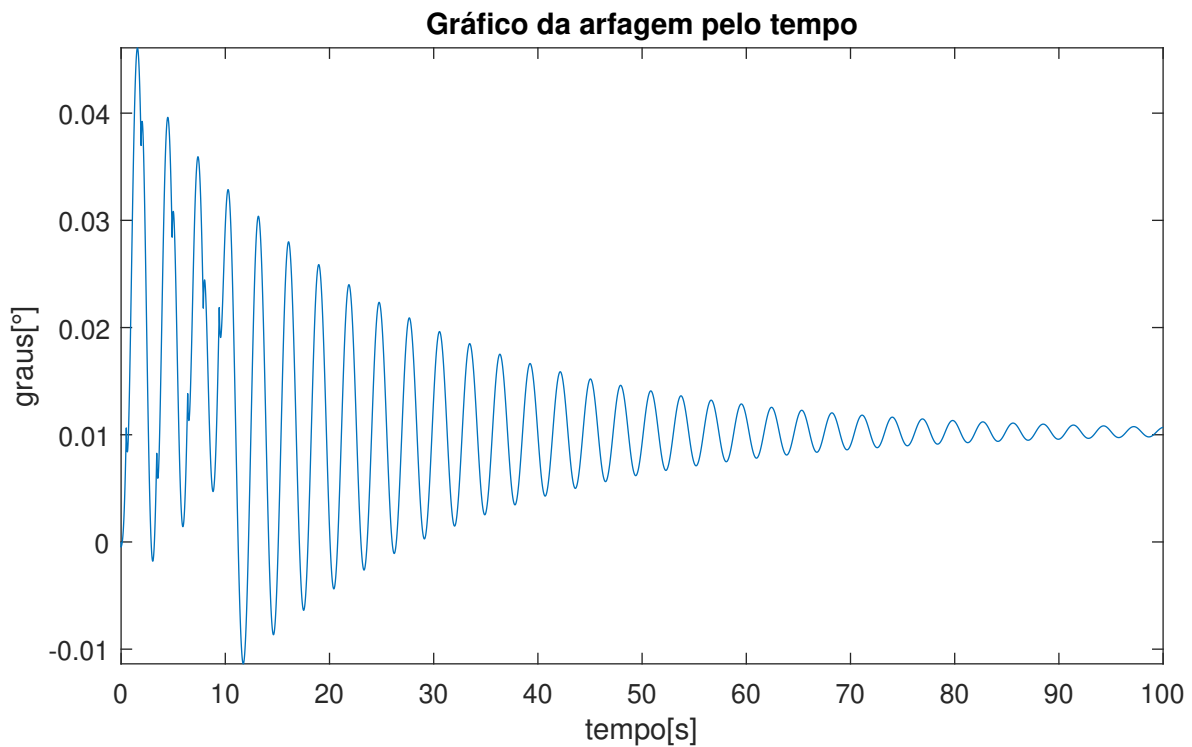


Figura 2: Gráfico da guinada pelo tempo

Podemos observar que o sistema consegue convergir com o tempo mas foi mal implementado pois fica oscilando até chegar na trajetória desejada. sendo necessário melhorar a implementação do sistema de controle mas provando que o sistema de controle por *flatness* é viável para a planta.

4 Conclusão

A implementação da planta para a simulação foi um sucesso mesmo com a falha de implementação de um sistema de controle por *flatness* que não oscila até sua trajetória desejada. Em trabalhos futuros será feita a correção da implementação para que a na trajetória as variáveis controladas não oscilem e será implementado um observado de estados ou muito provavelmente um filtro de Kalman para se estimar os valores de todos os estados.

Referências